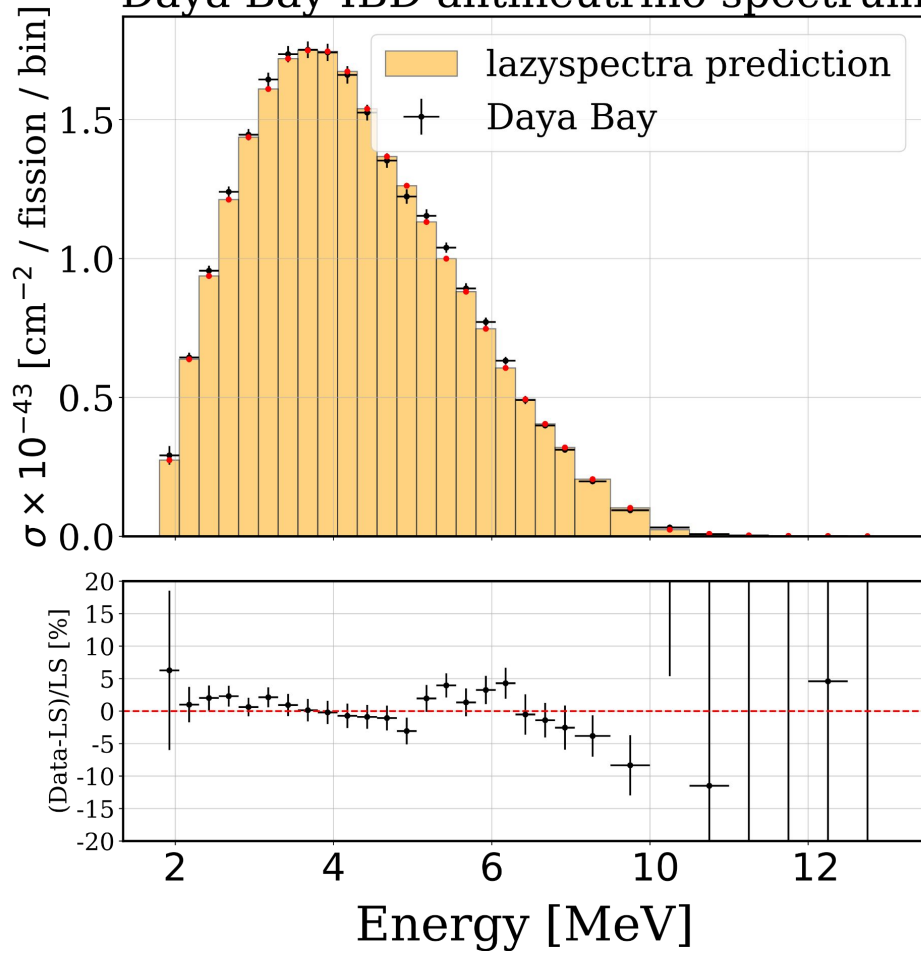
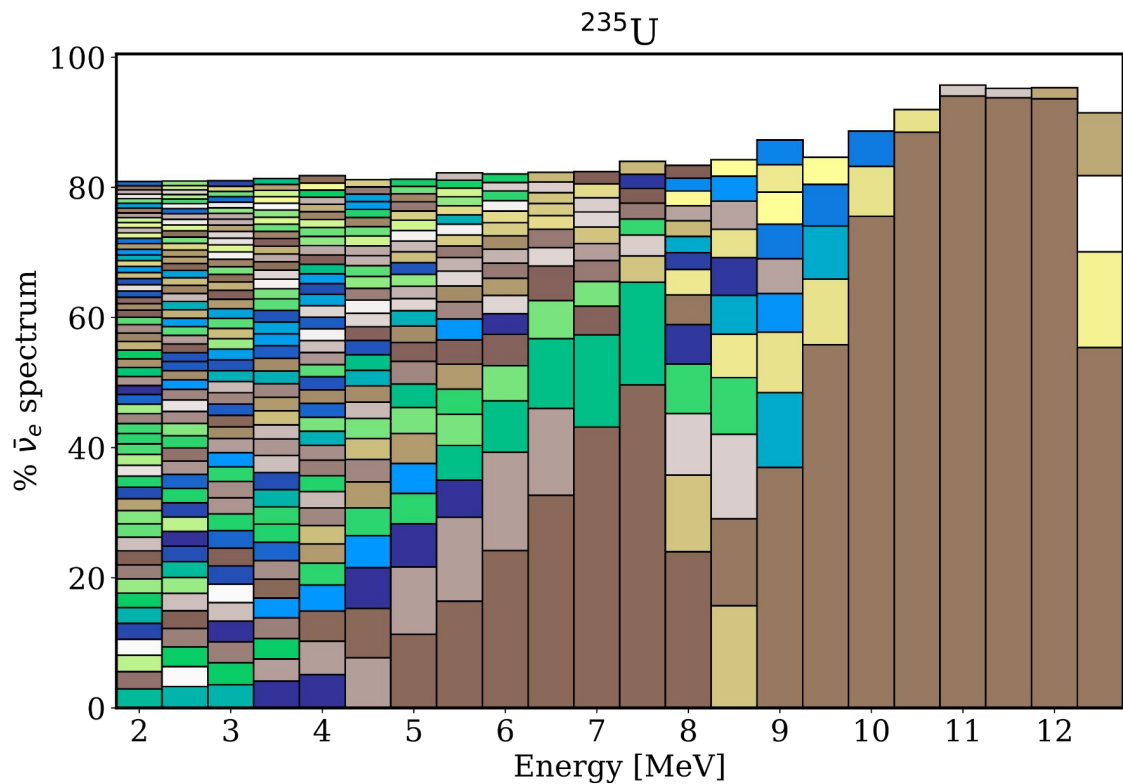


Daya Bay IBD antineutrino spectrum

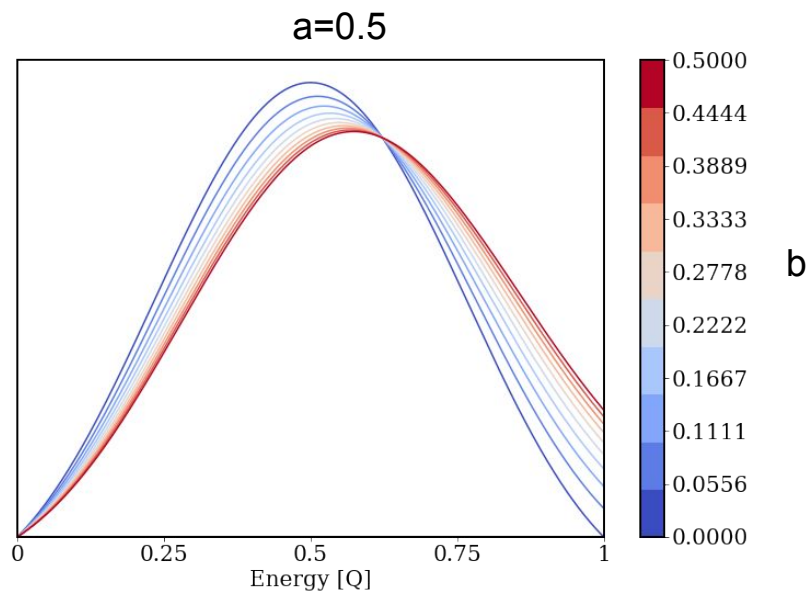
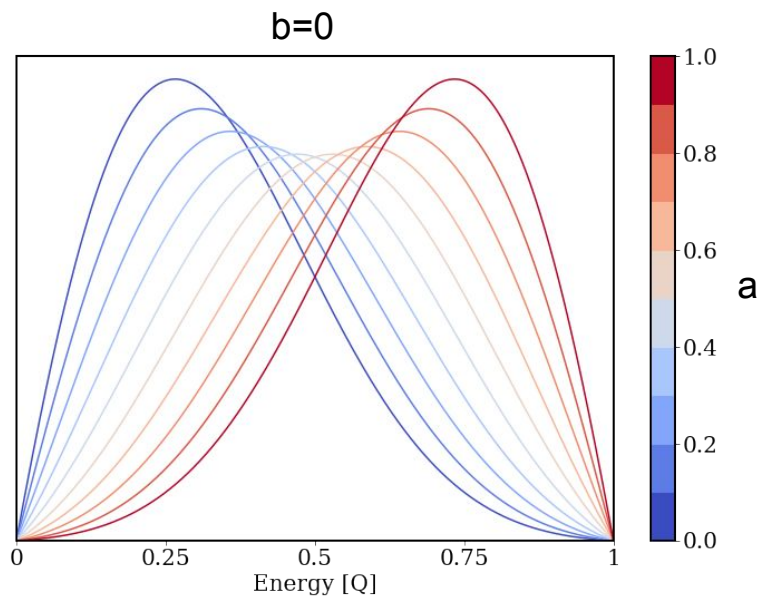




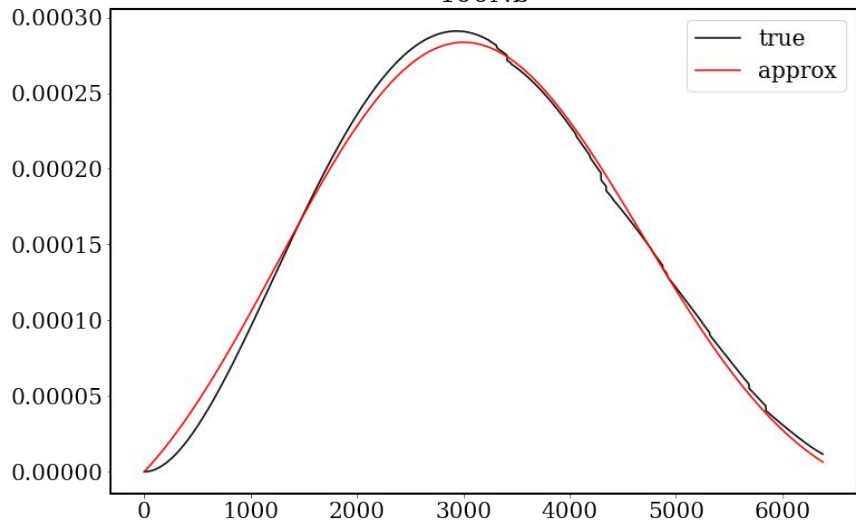
100Nb	100Y	100Y_1m	100Zr
101Nb	101Zr	102Nb	102Tc
102Zr	103Tc	108Nb	130In
130In_2m	131In_1m	135Te	136I
136I_1m	136Sb	137I	137Xe
138Cs	138I	138Xe	139Ba
139Cs	139I	139Xe	140Cs
140I	140Xe	141Ba	141Cs
141La	141Xe	142Cs	143Ba
143Cs	143La	144Ba	144La
144Pr	145Ba	146La	146Pr
147Ce	147La	80Ga	84As
84Ga	85As	86As	86Br
87Kr	87Se	88Br	88Rb
89Br	89Kr	8Li	90Kr
90Rb	90Y	91Kr	91Rb
91Sr	92Br	92Kr	92Rb
92Y	93Kr	93Rb	93Sr
93Y	94Rb	94Y	95Sr
95Y	96Sr	96Y	97Rb
97Sr	97Y	97Y_1m	98Nb
98Rb_1m	98Y	98Y_1m	98Zr
99Nb	99Nb_1m	99Y	99Zr
9Li			

$$N\left(x \times e^{-\frac{(x-a \times Q)^2}{(2(Q/3)^2)}} \times (x - Q - bQ)\right)$$

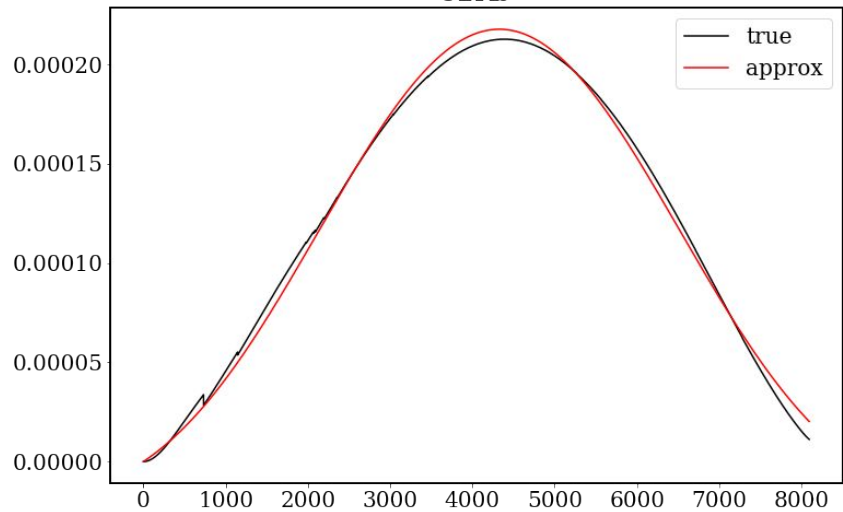
$a [0,1]$
 $b [0,0.5]$

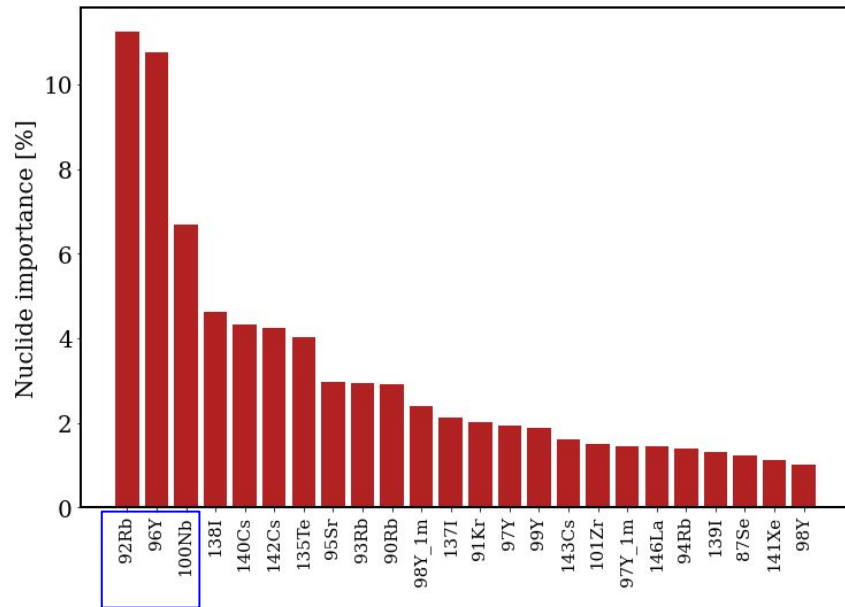
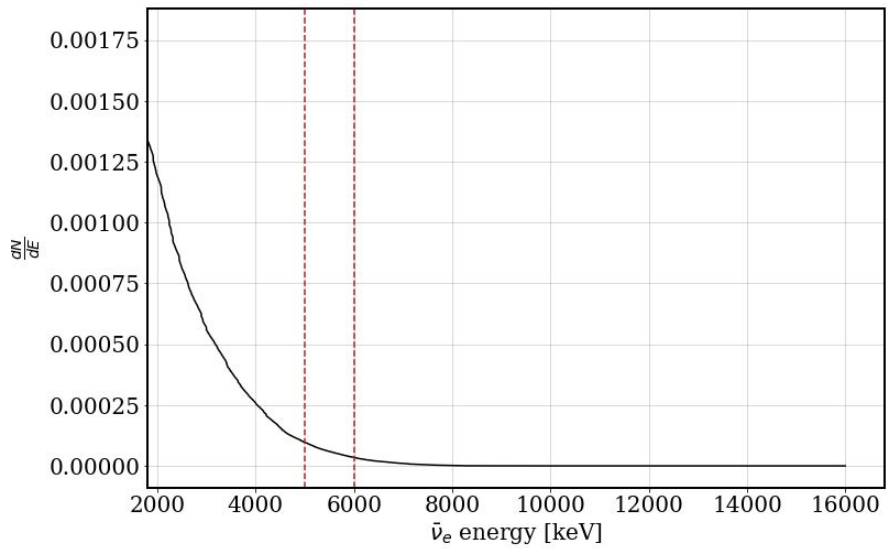


100Nb



92Rb





^{86}Br (ORNL), $^{87,88}\text{Br}$ (Valencia),
 $^{90,90\text{m},91,93}\text{Rb}$ (INL), ^{94}Rb (Valencia),
 ^{93}Sr (Greenwood), ^{95}Y (INL),
 ^{101}Nb (Valencia), $^{103,104}\text{Nbm}$ (MSU),
 ^{105}Mo (Valencia), $^{102,104,105,106,107}\text{Tc}$ (Valencia),
 $^{140,141}\text{Cs}$ (INL), ^{142}Cs (ORNL),
 $^{141,142,143,144,145}\text{Ba}$ (INL),
 $^{142,143,144,145}\text{La}$ (INL),
 $^{145,146,147,148}\text{Ce}$ (INL),
 $^{146,147,148,148\text{m},149,151}\text{Pr}$ (INL),
 $^{149,151,153,154,155}\text{Nd}$ (INL),
 $^{152,153,154,155,156,157}\text{Pm}$ (INL),
 $^{157,158}\text{Sm}$ (INL), ^{158}Eu I(INL).

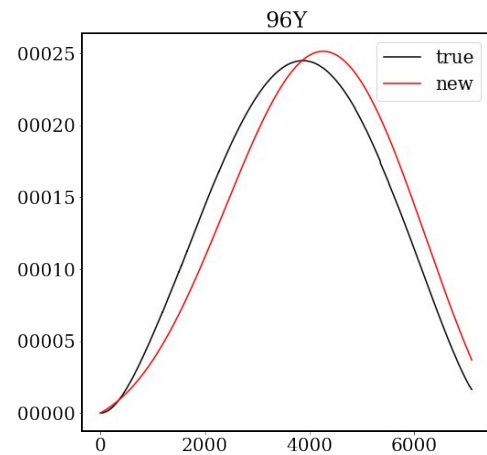
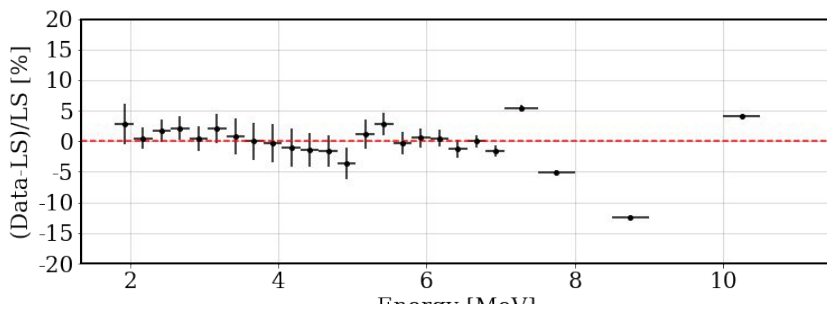
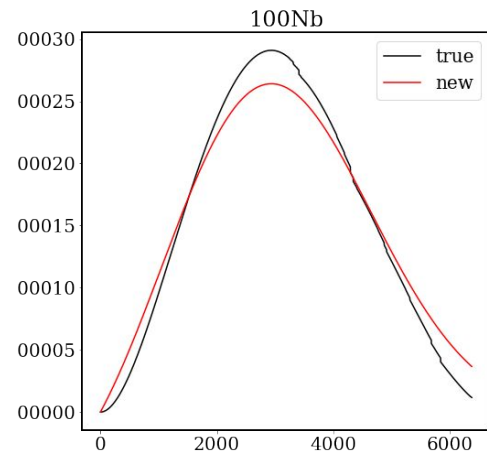
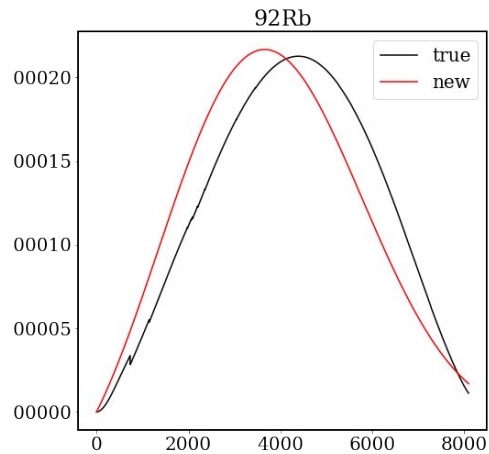
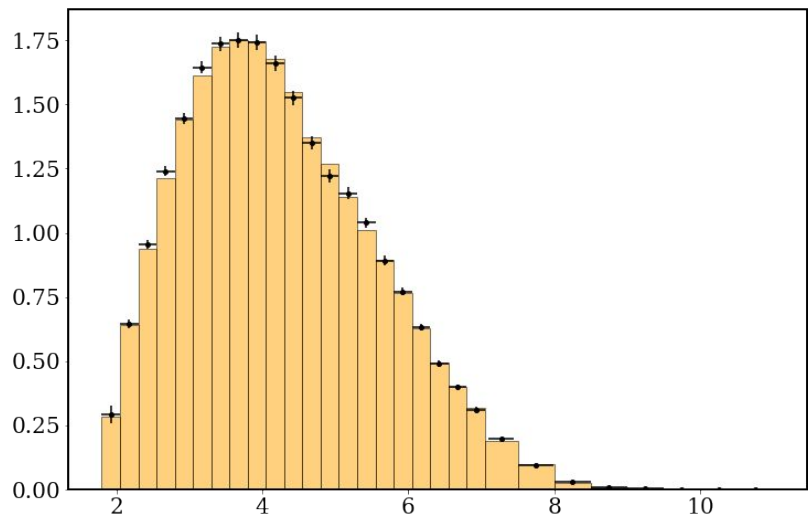
IB adjusted to match the electron spectra measured by Tengblad *et al.* for:

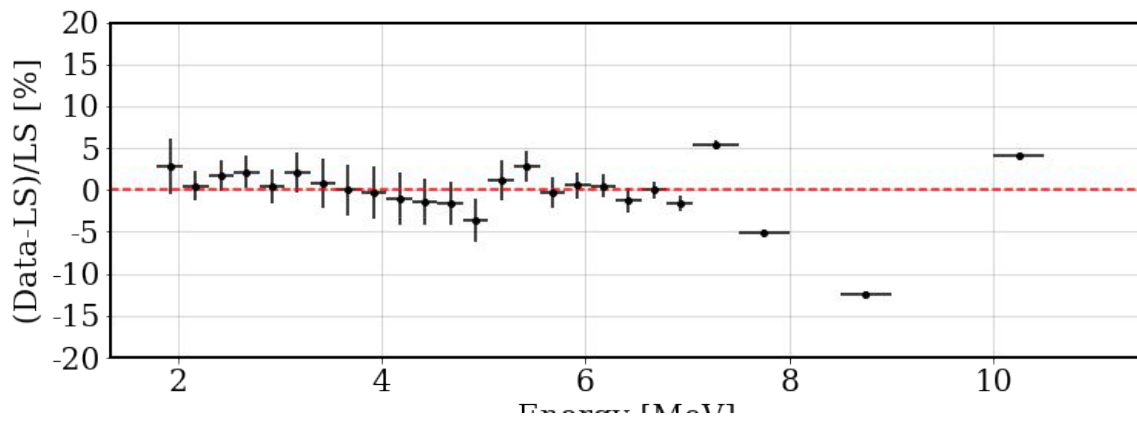
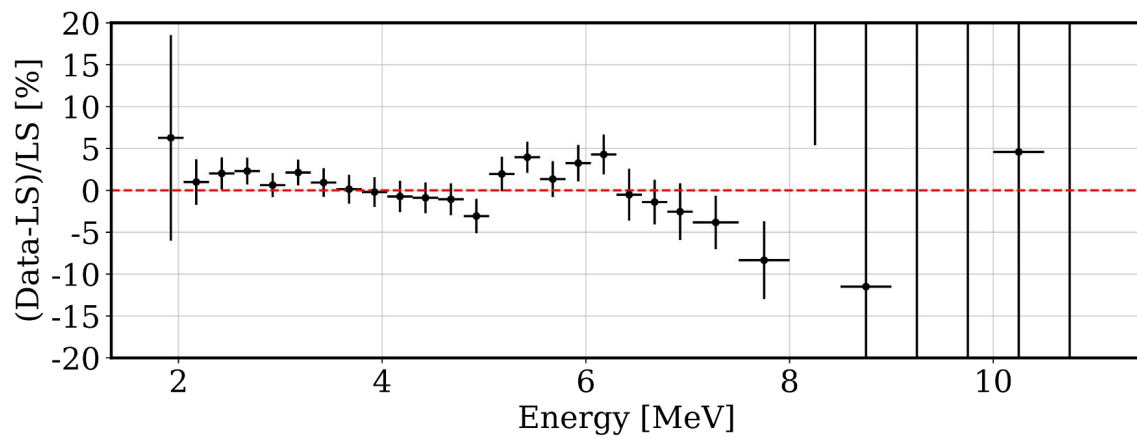
^{82}As , ^{89}Br , ^{90}Br , $^{95,96}\text{Rb}$, $^{98,99}\text{Y}$, ^{134}Sb , ^{138}I

2014 →

Table 1. Assessment and recommendations for TAGS measurements of radionuclides judged to be lacking average energy data of importance in decay-heat calculations for irradiated Th/U fuel.

Nuclide	Half-life	Q_{β} -value (keV)	(β^-, n) branch in β^- decay (%)	Highest daughter level and energy gap (keV)	Highest reaction level (keV)	Possible Pandemonium ?	% decay heat contribution at different cooling times (sec)					Priority
							10	100	1000	5000	10000	
37-Rb-92	4.492 s	8095(6)	0.01	38-Sr-92/7363 → Δ 732	7363	yes/borderline?	6.47					2
37-Rb-94	2.702 s	10283.0(26)	10.5	38-Sr-94/6064 → Δ 4219	6064	yes/significant	0.96					1
38-Sr-92	2.66 h	1950(9)	–	39-Y-92/1384 → Δ 566	ill-defined, and > 4048	yes/borderline?			0.79	3.52	5.87	2
39-Y-96	5.34 s	7103(6)	–	40-Zr-96/6232 → Δ 871	6821	yes	4.29					2
41-Nb-99m	2.5 min	4002(12)	>96.2% β^- , <3.8% IT	42-Mo-99/2944 → Δ 1058	up to 8118	yes		0.80				2
41-Nb-100	1.5 s	6386(8)	–	42-Mo-100/3130 → Δ 3256	up to 8114	yes/significant	4.76					1
41-Nb-100m	2.99 s	6699(3)	–	42-Mo-100/3647 → Δ 3052	up to 8114	yes/significant	1.10					1
41-Nb-101	7.1 s	4628(4)	–	42-Mo-101/1099 → Δ 3529	up to 5031	yes/significant	2.71					–





ROMA:

- vedere differenze “reali” tra gli spettri misurati generati 2 modelli (HM e summation dei francesi, EF) -> qual'è la massima discrepanza accettabile per non vedere differenze con la statistica di TAO?
 - Quanto tempo (statistica) serve per vedere una differenza?

POLIMI:

- capire come verrà fatta l'analisi NMO: taox8 esiste?
Se si:
 - generare spettri tao-like (senza considerare la risposta del rivelatore) più realistici possibili.
 - iniziare a vedere le differenze tra gli spettri “tao + tao_corrected” e “taox2”. Quant'è la differenza percentuale tra i due spettri?
 - fare lo stesso lavoro con taox8
- confrontare gli spettri da reattore a diversi burnup. Quant'è la differenza? -> va considerato per calcolare lo spettro non oscillato?

UNIMIB:

- trovare un metodo “robusto” per usare uno spettro misurato (e.g. tao) per correggere il modello teorico in maniera sensata.
- effetto del fondo sullo spettro non oscillato.